

## 8. CONVECÇÃO E ESCOAMENTO 2Dp

### 8.1 Modelo matemático

A partir da equação de conservação da energia térmica, considerando-se

- problema bidimensional (2D);
- regime permanente (p);
- coordenadas cartesianas;
- escoamento laminar;
- propriedades constantes:  $\rho$ ,  $c_p$ ,  $k$ ;
- sem  $\dot{q}$ ;
- sem dissipação viscosa;

obtém-se a equação de advecção-difusão de calor 2Dp:

$$\underbrace{\frac{\partial}{\partial x}(uT) + \frac{\partial}{\partial y}(vT)}_{\text{advecção}} = \alpha \underbrace{\frac{\partial^2 T}{\partial x^2} + \frac{\partial^2 T}{\partial y^2}}_{\text{condução}} \quad (8.1)$$

convecção

onde

$$\alpha = \frac{k}{\rho c_p} \text{ (m}^2/\text{s)} \quad \text{(difusividade térmica)} \quad (8.2)$$

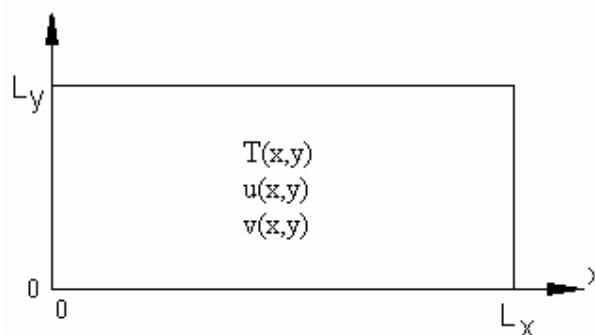


Figura 8.1: Convecção de calor 2Dp

Condições de contorno (por ex.):

$$T(0,y) = T(1, y) = T(x,0) = 0 \quad (8.3)$$

$$T(x,1) = 100.\text{sen}(\pi x) \quad (8.4)$$

Neste tipo de problema, o campo de velocidades é considerado conhecido (é um dado do problema); um exemplo é:

$$u = 8(x^4 - 2x^3 + x^2)(4y^3 - 2y) \quad (8.5)$$

$$v = -8(4x^3 - 6x^2 + 2x)(y^4 - y^2) \quad (8.6)$$

## 8.2 Discretização do Modelo Matemático

Integrando-se a eq.(8.1) sobre o volume de controle (VC) P da fig.8.2, obtém-se:

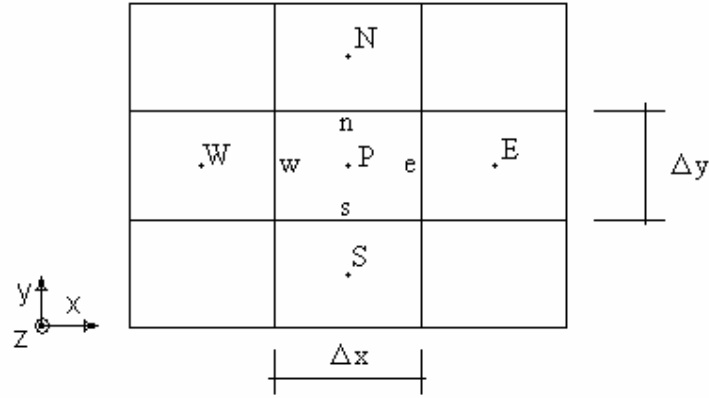


Figura 8.2: Malha 2D uniforme por direção

$$\int_{y_s}^{y_n} \int_{x_w}^{x_e} \left[ \frac{\partial}{\partial x} (uT) + \frac{\partial}{\partial y} (vT) \right] dx dy = \int_{y_s}^{y_n} \int_{x_w}^{x_e} \left[ \alpha \frac{\partial^2 T}{\partial x^2} + \alpha \frac{\partial^2 T}{\partial y^2} \right] dx dy \quad (8.7)$$

ou

$$\int_{y_s}^{y_n} \left[ \int_{x_w}^{x_e} \frac{\partial}{\partial x} (uT) dx \right] dy + \int_{x_w}^{x_e} \left[ \int_{y_s}^{y_n} \frac{\partial}{\partial y} (vT) dy \right] dx = \alpha \int_{y_s}^{y_n} \left[ \int_{x_w}^{x_e} \frac{\partial}{\partial x} \left( \frac{\partial T}{\partial x} \right) dx \right] dy + \alpha \int_{x_w}^{x_e} \left[ \int_{y_s}^{y_n} \frac{\partial}{\partial y} \left( \frac{\partial T}{\partial y} \right) dy \right] dx$$

que resulta em

$$\int_{y_s}^{y_n} [(uT)_e - (uT)_w] dy + \int_{x_w}^{x_e} [(vT)_n - (vT)_s] dx = \alpha \int_{y_s}^{y_n} \left[ \left( \frac{\partial T}{\partial x} \right)_e - \left( \frac{\partial T}{\partial x} \right)_w \right] dy + \alpha \int_{x_w}^{x_e} \left[ \left( \frac{\partial T}{\partial y} \right)_n - \left( \frac{\partial T}{\partial y} \right)_s \right] dx \quad (8.8)$$

As integrais da eq.(8.8) são resolvidas considerando-se que  $(uT)$ ,  $(vT)$ ,  $\left( \frac{\partial T}{\partial x} \right)$  e  $\left( \frac{\partial T}{\partial y} \right)$  são constantes em cada face do VC P. Isso resulta em

$$[(uT)_e - (uT)_w] \Delta y + [(vT)_n - (vT)_s] \Delta x = \alpha \left[ \left( \frac{\partial T}{\partial x} \right)_e - \left( \frac{\partial T}{\partial x} \right)_w \right] \Delta y + \alpha \left[ \left( \frac{\partial T}{\partial y} \right)_n - \left( \frac{\partial T}{\partial y} \right)_s \right] \Delta x \quad (8.9)$$

Aproximações para a eq.(8.9):

- CDS para as derivadas nas faces;
- CDS para as temperaturas T nas faces;
- velocidades u e v constantes em cada face e calculadas com x e y do ponto médio de cada face. Assim:

$$\begin{aligned} & \left[ u_e \frac{(T_p + T_E)}{2} - u_w \frac{(T_p + T_W)}{2} \right] \Delta y + \left[ v_n \frac{(T_p + T_N)}{2} - v_s \frac{(T_p + T_S)}{2} \right] \Delta x = \\ & = \alpha \left[ \frac{(T_E - T_p)}{\Delta x} - \frac{(T_p - T_W)}{\Delta x} \right] \Delta y + \alpha \left[ \frac{(T_N - T_p)}{\Delta y} - \frac{(T_p - T_S)}{\Delta y} \right] \Delta x \end{aligned}$$

que na forma de

$$a_p T_p = a_w T_w + a_e T_E + a_s T_S + a_n T_N + b_p \quad (8.10)$$

resulta em

$$\text{coeficientes (VC reais, P=1 a N)} \left\{ \begin{array}{l} a_w = \alpha \frac{\Delta y}{\Delta x} + u_w \frac{\Delta y}{2} \\ a_e = \alpha \frac{\Delta y}{\Delta x} - u_e \frac{\Delta y}{2} \\ a_s = \alpha \frac{\Delta x}{\Delta y} + v_s \frac{\Delta x}{2} \\ a_n = \alpha \frac{\Delta x}{\Delta y} - v_n \frac{\Delta x}{2} \\ a_p = a_w + a_e + a_s + a_n \\ \text{termo fonte} \quad \{ b_p = 0 \} \end{array} \right. \quad (8.11)$$

As CC podem ser aplicadas com volumes fictícios conforme visto na secção 5.3 do cap.5 (condução de calor 2Dp).

O sistema de equações pentadiagonal, representado pela eq.(8.10), pode ser resolvido com o método de Gauss-Seidel, conforme a eq.(5.19).

### 8.3 Algoritmo

1- Ler os dados:  $L_x$ ,  $L_y$ ,  $\alpha$ , funções  $T_{CC}$ , funções  $u(x,y)$ ,  $v(x,y)$  e  $N_x$  e  $N_y$  (com fictícios) e I (número de iterações)

2- Discretizar o domínio de cálculo com

$$\Delta x = \frac{L_x}{N_x - 2}; \Delta y = \frac{L_y}{N_y - 2} \quad (8.12)$$

e calcular  $x_p$  e  $y_p$

3- Calcular  $u_w$ ,  $u_e$ ,  $v_s$  e  $v_n$  nas faces de cada VC P real

4- Calcular os coeficientes e termos fontes da eq.(8.11) e dos fictícios para as CC

5- Estimar a solução de  $T_p^0$ , por exemplo,  $T_p = 0$

6- Resolver o sistema de equações (8.10) através do método de Gauss-Seidel (eq. 5.19)

7- Voltar ao item 6 até ser atingido I

8- Pós-processamento

### 8.4 Modelo matemático do escoamento 2Dp

Considerações:

- escoamento laminar 2Dp;
- fluido incompressível; e
- campo de pressões (p) conhecido.

Eq. de conservação da Quantidade de Movimento Linear na direção x (QML<sub>x</sub>)

$$\frac{\partial}{\partial x}(\rho u u) + \frac{\partial}{\partial y}(\rho v u) = -\frac{\partial p}{\partial x} + \frac{\partial}{\partial x}\left(\mu \frac{\partial u}{\partial x}\right) + \frac{\partial}{\partial y}\left(\mu \frac{\partial u}{\partial y}\right) \quad (8.13)$$

Eq. de conservação da Quantidade de Movimento Linear na direção y (QML<sub>y</sub>)

$$\frac{\partial}{\partial x}(\rho u v) + \frac{\partial}{\partial y}(\rho v v) = -\frac{\partial p}{\partial y} + \frac{\partial}{\partial x}\left(\mu \frac{\partial v}{\partial x}\right) + \frac{\partial}{\partial y}\left(\mu \frac{\partial v}{\partial y}\right) \quad (8.14)$$

onde

$\rho$  = massa específica do fluido;

$u, v$  = componentes do vetor velocidade nas direções x e y;

$\mu$  = viscosidade absoluta do fluido.

Condições de contorno (por exemplo):

$$\left. \begin{aligned} u(0,y) = u(1,y) = u(x,0) = 0 \\ u(x,1) = 16(x^4 - 2x^3 + x^2) \end{aligned} \right\} \quad (8.15)$$

$$v(0,y) = v(1,y) = v(x,0) = v(x,1) = 0 \quad (8.16)$$

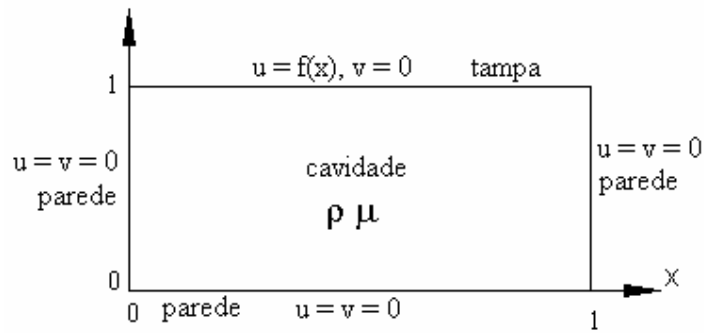


Figura 8.3: Domínio de cálculo e CC do escoamento 2Dp

As eqs.(8.13) e (8.14) podem ser representadas por

$$\frac{\partial}{\partial x}(\rho u \varphi) + \frac{\partial}{\partial y}(\rho v \varphi) = S^\varphi + \frac{\partial}{\partial x} \left( \mu \frac{\partial \varphi}{\partial x} \right) + \frac{\partial}{\partial y} \left( \mu \frac{\partial \varphi}{\partial y} \right) \quad (8.17)$$

onde

equação	$\varphi$	$S^\varphi$
QML <sub>x</sub>	u	$-\hat{\partial}p/\hat{\partial}x$
QML <sub>y</sub>	v	$-\hat{\partial}p/\hat{\partial}y$

Para  $\rho$  e  $\mu$  constantes, a discretização da eq.(8.17) é semelhante às eqs.(8.1) e (7.14).

### 8.5 Discretização da Quantidade de Movimento Linear 2Dp

A integração da eq. (8.17) sobre o volume de controle (VC) P da fig. 8.2 é dada por:

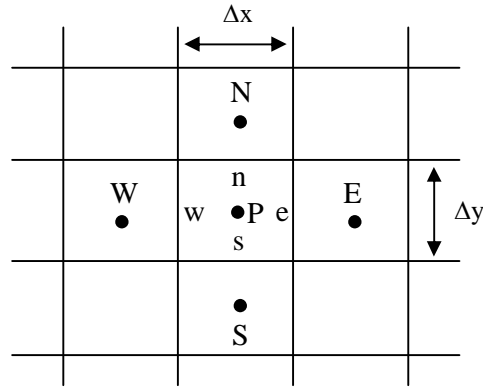


Figura: 8.4: Malha 2D uniforme em cada direção

$$\int_{y_s}^{y_n} \int_{x_w}^{x_e} \left[ \frac{\partial}{\partial x} (\rho u \phi) + \frac{\partial}{\partial y} (\rho v \phi) \right] dx dy dz = \int_{y_s}^{y_n} \int_{x_w}^{x_e} \left[ \frac{\partial}{\partial x} \left( \mu \frac{\partial \phi}{\partial x} \right) + \frac{\partial}{\partial y} \left( \mu \frac{\partial \phi}{\partial y} \right) + S^\phi \right] dx dy dz$$

que resulta em

$$[(\rho u \phi)_e - (\rho u \phi)_w] \Delta y + [(\rho v \phi)_n - (\rho v \phi)_s] \Delta x = \left[ \left( \mu \frac{\partial \phi}{\partial x} \right)_e - \left( \mu \frac{\partial \phi}{\partial x} \right)_w \right] \Delta y + \left[ \left( \mu \frac{\partial \phi}{\partial y} \right)_n - \left( \mu \frac{\partial \phi}{\partial y} \right)_s \right] \Delta x + L[S^\phi]_P \Delta x \Delta y \quad (8.18)$$

onde  $L[S^\phi]_P$  representa a aproximação numérica de  $S^\phi$  sobre o VC P.

### 8.6 Algoritmo para Quantidade de Movimento Linear 2Dp

- 1- Ler os dados: n° de VC em x e y,  $\rho$ ,  $\mu$ , CC,  $I_v$  (n° de iterações) e  $I_t$  (n° de iterações),  $p(x,y)$
- 2- Inicializar  $u = v = 0$
- 3- Calcular os coeficientes e termos fontes de u
- 4- Resolver o sistema de equações de u com Gauss-Seidel por  $I_v$  vezes
- 5- Calcular os coeficientes e termos fontes de v
- 6- Resolver o sistema de equações de v com Gauss-Seidel por  $I_v$  vezes
- 7- Voltar ao item 3 por  $I_t$  vezes
- 8- Pós-processamento